

حل عددی معادلات آب کم عمق دو لایه به روش تفکیک مد

حکیم گلشاهی*

استادیار، گروه فیزیک، واحد شوشتار، دانشگاه آزاد اسلامی، شوشتار، ایران

(دریافت: ۱۴۰۰/۹/۱۴، پذیرش نهایی: ۱۴۰۱/۱۳۰)

چکیده

در پژوهش حاضر، برای حل عددی دستگاه معادلات آب کم عمق دو لایه بر حسب متغیرهای فشاروردن و کثافشار از روش تفکیک مد با گام‌های زمانی متفاوت استفاده شد. برای گسسته‌سازی مکانی، روش‌های مرتبه دوم مرکزی و فشرده مرتبه چهارم به کار گرفته شدند و برای گسسته‌سازی زمانی در هر دو بخش فشاروردن و کثافشار از روش لیپ فراگ به صورت نیمه‌ضمونی به همراه پالایه زمانی روبرت-آلین استفاده شده است. ابتدا مد کثافشار با گام زمانی بزرگ و سپس مد فشاروردن با گام زمانی کوچک‌تر حل شده است تا بتوان مقادیر کثافشار موردنیاز در مد فشاروردن را از مد کثافشار استخراج کرد. برای این منظور در طی یک گام زمانی کثافشار، مقادیر کثافشار ثابت در نظر گرفته شده یا با درون‌یابی زمانی تعیین شده‌اند. تحلیل منحنی‌های خط انشان می‌دهد که درون‌یابی زمانی مقادیر کثافشار برای به کارگیری در مد فشاروردن می‌تواند به نتایجی بهتر منجر شود و شرایط پایدارتری را فراهم کند. همچنین، می‌توان ناپایداری عددی در گام‌های زمانی کثافشار بزرگ را با افزایش ضربی پالایه زمانی کنترل کرد.

واژه‌های کلیدی: معادلات آب کم عمق، محیط دولایه، روش تفکیک مد، مدهای فشاروردن و کثافشار، ناپایداری عددی.

۱. مقدمه

بزرگ‌تر از مد فشاروردن در نظر گرفت که این منجر به افزایش سرعت پردازش خواهد شد. این افزایش سرعت پردازش به شرطی مزیت محسوب می‌شود که با افزایش خط انشا نباشد.

اوبراين و هالبرت (۱۹۷۲) از یک مدل دولایه یک بعدی برای مطالعه فراجوشی (Upwelling) استفاده کرده‌اند که در آن حل عددی به روش نیمه‌ضمونی انجام می‌شود. بنابراین، حتی در گام‌های زمانی بزرگ‌تر نیز این مدل پایداری خود را حفظ می‌کند. مادالا و پیاسکیک (۱۹۷۷) با ارائه روش تفکیک مد در یک مدل چند لایه، این روش نیمه‌ضمونی را تنها برای بخش فشاروردن به کار گرفتند؛ به گونه‌ای که با به کارگیری گام زمانی بزرگ‌تر و حذف معادله هلمهولتز در بخش کثافشار، می‌توان زمان پردازش را کاهش داد. به طور کلی، در روش تفکیک مد، با میانگین‌گیری از معادلات سه بعدی در راستای قائم، معادلات دو بعدی مربوط به مد فشاروردن به دست می‌آیند که تحول زمانی سریع‌تری دارند و باید از گام‌های زمانی

در مدل‌هایی که از روش‌های تکراری برای حل معادلات تکانه با در نظر گرفتن تقریب مرز سخت استفاده می‌کنند با افزایش تفکیک شبکه، تعداد تکرار و در نتیجه مدت زمان پردازش به شدت افزایش می‌یابد. یکی از روش‌های جایگزین، استفاده از سطح آزاد به جای تقریب مرز سخت و تفکیک معادلات به دو بخش فشاروردن و کثافشار است. این روش که نخستین بار توسط مادالا و پیاسکیک (۱۹۷۷) ارائه شده و در خیلی از مدل‌ها از جمله POM، ROMS، CESM، HYCOM و FVCOM به کار رفته است (چن و همکاران، ۲۰۰۳؛ شپتکین و مک‌ولیامز، ۲۰۰۵؛ هوانگ و همکاران، ۲۰۰۸؛ اسمیت و همکاران، ۲۰۱۰؛ هان، ۲۰۱۴؛ کیانگ و همکاران، ۲۰۱۴؛ ژوانگ و همکاران، ۲۰۱۸؛ هیگدون، ۲۰۲۰)، روش تفکیک مد (Mode splitting) نامیده می‌شود به گونه‌ای که در آن، گام زمانی مد کثافشار متفاوت با مد فشاروردن است. با توجه به کندر بودن امواج گرانی درونی نسبت به امواج گرانی سطحی، می‌توان گام زمانی مد کثافشار را خیلی

ایجاد نشده و صرفاً دستگاه معادلات اولیه برحسب متغیرهای جدید بازنویسی شده‌اند. به علاوه، بازنویسی دستگاه معادلات چند لایه برحسب متغیرهای فشاروردن و کثافشار منجر به جفت‌شدگی بیشتر دستگاه معادلات حاکم می‌شود که این خود می‌تواند به پایداری حل عددی کمک کند.

حل عددی معادلات بخش فشاروردن می‌تواند به شکل صریح، نیمه‌ضممنی یا ضمنی انجام شود (لازوره و دوماس، ۲۰۰۸). در مطالعه حاضر، حل عددی هر دو مدل فشاروردن و کثافشار، با روش‌های تفاضل متناهی یکسان و به صورت نیمه‌ضممنی انجام شده است. برای گسترش‌سازی زمانی از روش لیپ فراگ (به همراه پالایه زمانی روبرت آسلین و برای گسترش‌سازی مکانی، علاوه بر روش مرتبه دوم مرکزی (E2S)، روش فشرده مرتبه چهارم (C4S) با دقیق بالاتر ولی با هزینه محاسباتی بیشتر (High computational cost) نیز به کار گرفته شد (هرش، ۱۹۷۵؛ لل، ۱۹۹۲).

۲. معادلات حاکم

معادلات آب کم‌عمق دو لایه برحسب میدان‌های تواویی (ζ ، واگرایی (δ) و ارتفاع (h) به صورت زیر است (گلشاهی و قادر، ۱۳۹۶):

کوچک‌تر استفاده کرد. معادلات مدل کثافشار که به صورت سه‌بعدی هستند با گام زمانی بزرگ‌تر حل می‌شوند. اگر از روش تفکیک مدل استفاده نشود، باید دستگاه معادلات سه بعدی را با گام زمانی کوچک حل کرد؛ بنابراین، استفاده از آن به ویژه در مدل‌هایی با تفکیک زیاد (High-resolution)، امری اجتناب‌ناپذیر است (کامبلن و همکاران، ۲۰۱۰؛ دیمتره و همکاران، ۲۰۱۹؛ کنگ و همکاران، ۲۰۲۱).

گلشاهی و قادر (۱۳۹۶)، برای حل عددی معادلات آب کم‌عمق دولایه دو بعدی برحسب متغیرهای تواویی، واگرایی و ارتفاع (در شبکه Z) به جای حل دستگاه معادلات هر لایه، معادلات را برحسب متغیرهای فشاروردن و کثافشار بازنویسی کردند و برای حل هر یک از این دو دستگاه معادلات جفت‌شده، از روش تفاضل متناهی به صورت نیمه‌ضممنی با گام‌های زمانی یکسان استفاده کردند. در پژوهش حاضر، با تغییر جزئی در تعریف این متغیرهای فشاروردن و کثافشار، معادلات فشاروردن و کثافشار در یک محیط دولایه برای به کارگیری روش تفکیک مدل معرفی شدند که می‌توان آنرا برای مدل آب کم‌عمق چندلایه نیز تعمیم داد و همانند روش تفکیک مدل از گام‌های زمانی متفاوت استفاده کرد در حالی که هیچ تغییری در دستگاه معادلات چند لایه اولیه

$$\begin{cases} \frac{\partial \zeta_1}{\partial t} = -\nabla \cdot [(\zeta_1 + f_0) \mathbf{u}_1] \\ \frac{\partial \delta_1}{\partial t} + g H_1 \nabla^2 h'_1 = f_0 \zeta_1 - g H_2 \nabla^2 h'_2 + 2J(u_1, v_1) - \nabla \cdot (\delta_1 \mathbf{u}_1) \\ \frac{\partial h'_1}{\partial t} + \delta_1 = -\nabla \cdot (h'_1 \mathbf{u}_1) \\ \\ \frac{\partial \zeta_2}{\partial t} = -\nabla \cdot [(\zeta_2 + f_0) \mathbf{u}_2] \\ \frac{\partial \delta_2}{\partial t} + (g + g') H_2 \nabla^2 h'_2 = f_0 \zeta_2 - g H_1 \nabla^2 h'_1 + 2J(u_2, v_2) - \nabla \cdot (\delta_2 \mathbf{u}_2) \\ \frac{\partial h'_2}{\partial t} + \delta_2 = -\nabla \cdot (h'_2 \mathbf{u}_2) \end{cases} \quad (1)$$

که بر حسب متغیرهای تاوایی (ζ) و واگرایی (δ) به شکل زیر در می‌آیند:

$$\begin{cases} \delta_{bt} = \frac{H_1\delta_1 + H_2\delta_2}{H} \\ \delta_{bc} = \delta_1 - \delta_2 \end{cases}, \quad \begin{cases} \zeta_{bt} = \frac{H_1\zeta_1 + H_2\zeta_2}{H} \\ \zeta_{bc} = \zeta_1 - \zeta_2 \end{cases} \quad (3)$$

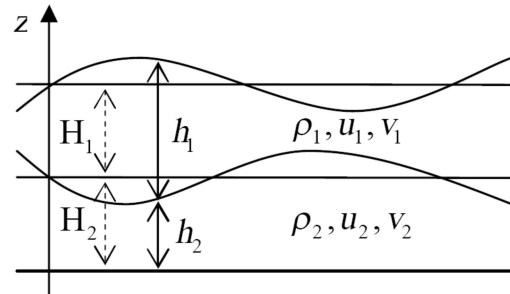
اندیس‌های bt و bc به ترتیب معرف مدهای فشارورود و کژفشار هستند. برای تعیین مقادیر کمیت‌ها در هر لایه می‌توان از تبدیلات وارون آنها استفاده کرد. برای نمونه تبدیلات وارون برای تعیین مؤلفه‌های جریان در هر لایه، به شکل زیر است:

$$\begin{cases} \mathbf{u}_1 = \mathbf{u}_{bt} + \frac{H_2}{H} \mathbf{u}_{bc} \\ \mathbf{u}_2 = \mathbf{u}_{bt} - \frac{H_1}{H} \mathbf{u}_{bc} = \mathbf{u}_1 - \mathbf{u}_{bc} \end{cases} \quad (4)$$

با مقایسه این روابط با روابط $\mathbf{u}_1 = \mathbf{U} + \mathbf{u}'_1$ و $\mathbf{u}_2 = \mathbf{U} + \mathbf{u}'_2$ (سیمونت و همکاران، ۲۰۰۳)، می‌توان دریافت که جریان فشارورود (\mathbf{u}_{bt}) بیانگر مقدار جریان میانگین کل در محیط دولایه \mathbf{U} و $\frac{H_2}{H} \mathbf{u}_{bc}$ و $\frac{H_1}{H} \mathbf{u}_{bc}$ میانگین کل در محیط دولایه \mathbf{U} و در لایه اول (\mathbf{u}'_1) و در لایه دوم (\mathbf{u}'_2) است. طبق این رابطه، اگر $H_2 > H_1$ باشد، $|\mathbf{u}'_2| < |\mathbf{u}'_1|$ خواهد بود؛ به عبارتی لایه ضخیم‌تر دارای مقدار انحراف جریان کوچک‌تری است. در این پژوهش، ارتفاع میانگین لایه اول و دوم با یکدیگر برابر انتخاب شده ($H_2 = H_1$) و درنتیجه، انحراف از مقدار میانگین در هر لایه برای یک نقطه معین از فضای دو بعدی ناحیه مورد مطالعه، دارای اندازه یکسان ولی علامت‌های مخالف هم است ($\mathbf{u}'_2 = -\mathbf{u}'_1$).

این نوع تعریف از متغیرهای فشارورود و کژفشار را می‌توان برای مدل چند لایه نیز تعمیم داد. برای نمونه در حالت سه لایه، یک متغیر فشارورود، دو متغیر کژفشار و تبدیلات وارون آنها به صورت زیر تعریف می‌شوند:

که در آن طبق فرضیات مدل، جملات تنش بستر، تنش بین لایه‌ها و تنش باد در نظر گرفته نشده‌اند. اندیس‌های ۱ و ۲ به ترتیب بیانگر لایه اول و لایه دوم است به گونه‌ای که در محیطی با عمق ثابت H ، لایه اول با چگالی کمتر روی لایه دوم قرار دارد تا تعادل هیدروستاتیک برقرار باشد. ارتفاع میانگین در لایه اول H_1 و در لایه دوم H_2 ، چگالی ρ ، پارامتر کوریولیس f ، شتاب گرانی g و گرانی کاهیده $g' = g(\rho_2 - \rho_1)/\rho_2$ مقادیری ثابت هستند. مؤلفه افقی جریان در لایه اول $\mathbf{u}_1 = (u_1, v_1)^T$ (بالانویس T معرف ترنسپوز است) با ارتفاع $h_1 = H_1(1 + h'_1)$ و مؤلفه افقی جریان در لایه دوم $\mathbf{u}_2 = (u_2, v_2)^T$ با ارتفاع $h_2 = H_2(1 + h'_2)$ است. شکل ۱ شمایی از این محیط دولایه را نشان می‌دهد.



شکل ۱. شمایی از یک محیط دولایه با عمق ثابت (قادر و همکاران، ۱۳۸۹).

در پژوهش‌های جوی و اقیانوسی از فرمول‌بندی‌های مختلفی برای متغیرهای فشارورود و کژفشار استفاده شده است (کارستن و اسواترز، ۱۹۹۹؛ اسپایدل و سسی، ۲۰۰۳؛ تاناکا و آکیموتو، ۲۰۱۰؛ بوچات و همکاران، ۲۰۱۱). رابطه (۲) و (۳)، فرمول‌بندی متغیرهای فشارورود و کژفشار به کار گرفته شده در مطالعه حاضر را بیان می‌کنند:

$$\begin{cases} h'_{bt} = \frac{H_1 h'_1 + H_2 h'_2}{H} \\ h'_{bc} = h'_1 - h'_2 \end{cases}, \quad \begin{cases} \mathbf{u}_{bt} = \frac{H_1 \mathbf{u}_1 + H_2 \mathbf{u}_2}{H} \\ \mathbf{u}_{bc} = \mathbf{u}_1 - \mathbf{u}_2 \end{cases} \quad (2)$$

$$\begin{cases} \mathbf{u}_{bt} = \frac{H_1 \mathbf{u}_1 + H_2 \mathbf{u}_2 + H_3 \mathbf{u}_3}{H} \\ \mathbf{u}_{bc1} = \mathbf{u}_1 - \mathbf{u}_2 \\ \mathbf{u}_{bc2} = \mathbf{u}_2 - \mathbf{u}_3 \end{cases} \Rightarrow \begin{cases} \mathbf{u}_1 = \mathbf{u}_{bt} + \frac{H_2 + H_3}{H} \mathbf{u}_{bc1} + \frac{H_3}{H} \mathbf{u}_{bc2} = \mathbf{u}_2 + \mathbf{u}_{bc1} \\ \mathbf{u}_2 = \mathbf{u}_{bt} - \frac{H_1}{H} \mathbf{u}_{bc1} + \frac{H_1}{H} \mathbf{u}_{bc2} \\ \mathbf{u}_3 = \mathbf{u}_{bt} - \frac{H_1}{H} \mathbf{u}_{bc1} - \frac{H_1 + H_2}{H} \mathbf{u}_{bc2} = \mathbf{u}_2 - \mathbf{u}_{bc2} \end{cases} \quad (5)$$

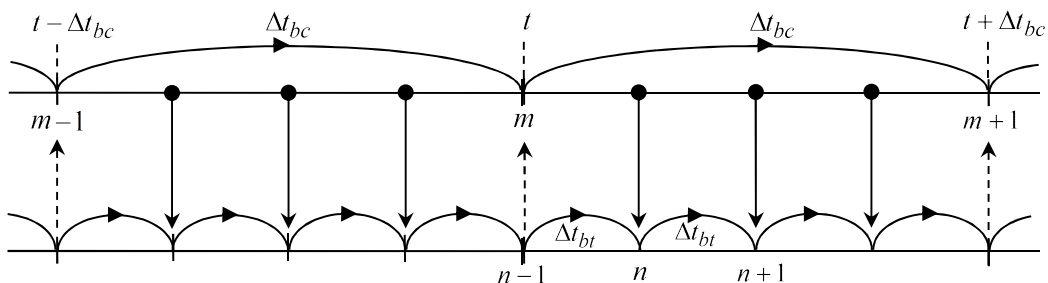
دستگاه معادلات (۱) برای محیطی دولایه با عمق ثابت $H=2$ و لایه‌هایی با ارتفاع میانگین یکسان $H_1=H_2=1$ طبق رابطه (۲) و (۳) بر حسب متغیرهای فشاروردن و کثافشار به شکل زیر در می‌آید:

بدین ترتیب، برای یک مدل N لایه، یک مدل فشاروردن و $N-1$ مدل کثافشار وجود دارد و در مجموع، در هر گام زمانی باید تعداد $3N$ معادله برای تعیین $3N$ مجهول حل شوند.

$$\begin{cases} \frac{\partial \zeta_{bt}}{\partial t} = -\frac{1}{2} \nabla \cdot [(\zeta_1 + f_o) \mathbf{u}_1 + (\zeta_2 + f_o) \mathbf{u}_2] \\ \frac{\partial \delta_{bt}}{\partial t} + \left[2g - \frac{g'}{2} \right] \nabla^2 h'_{bt} = f_o \zeta_{bt} + \frac{1}{2} [(2J(u_1, v_1) - \nabla \cdot (\delta_1 \mathbf{u}_1)) + (2J(u_2, v_2) - \nabla \cdot (\delta_2 \mathbf{u}_2))] + \frac{g'}{4} \nabla^2 h'_{bc} \\ \frac{\partial h'_{bt}}{\partial t} + \delta_{bt} = -\frac{1}{2} \nabla \cdot (h'_1 \mathbf{u}_1 + h'_2 \mathbf{u}_2) \end{cases}$$

$$\begin{cases} \frac{\partial \zeta_{bc}}{\partial t} = -\nabla \cdot [(\zeta_1 + f_o) \mathbf{u}_1 - (\zeta_2 + f_o) \mathbf{u}_2] \\ \frac{\partial \delta_{bc}}{\partial t} + \frac{g'}{2} \nabla^2 h'_{bc} = f_o \zeta_{bc} + [(2J(u_1, v_1) - \nabla \cdot (\delta_1 \mathbf{u}_1)) - (2J(u_2, v_2) - \nabla \cdot (\delta_2 \mathbf{u}_2))] - g' \nabla^2 h'_{bt} \\ \frac{\partial h'_{bc}}{\partial t} + \delta_{bc} = -\nabla \cdot (h'_1 \mathbf{u}_1 - h'_2 \mathbf{u}_2) \end{cases}$$

(6)



شکل ۲. طرح کلی روش تفکیک مدل برای مدهای فشاروردن و کثافشار به ازای $M=4$

می‌یابد؛ آنگاه دوباره این فرایند با حل مد کژفشار آغاز می‌شود. با به کارگیری گام زمانی کژفشار به صورت مضرب صحیحی از گام زمانی فشاروردن، می‌توان تأثیر تفاوت گام‌های زمانی فشاروردن و کژفشار روی نتایج حل عددی را مورد ارزیابی قرار داد.

هنگام حل مد فشاروردن می‌توان مقادیر کژفشار مورد نیاز بین لحظات t و $t + \Delta t_{bc}$ را به شیوه‌های مختلفی از مد کژفشار استخراج کرد. در جدول ۱، ۹ حالت مختلف برای تعیین این مقادیر ارائه شده است. در این حالت‌ها، مقادیر کژفشار بین لحظات t و $t + \Delta t_{bc}$ یا ثابت هستند و یا با درونیابی خطی تعیین می‌شوند. برای ثابت گرفتن مقادیر کژفشار می‌توان به دو صورت عمل کرد: می‌توان مقدار کژفشار در مرحله زمانی m یا مقدار آن در مرحله زمانی $m+1$ را ثابت در نظر گرفت. برای نمونه، در حالت ۱، مقادیر δ_{bc}^m و h_{bc}^m در حالت ۲، مقادیر δ_{bc}^{m+1} و h_{bc}^{m+1} بین لحظات t و $t + \Delta t_{bc}$ ثابت در نظر گرفته شده‌اند و در حالت ۹، همه مقادیر کژفشار مورد نیاز در مد فشاروردن بین این دو لحظه با درونیابی زمانی خطی تعیین می‌شوند. در اینجا برای سادگی در نوشتار، این ۹ حالت، «حالات گانه» نامیده شده و در کنار روش به کار گرفته شده، شماره حالت درج شده است. برای نمونه E2S-1 به معنی استفاده از حالت ۱ در روش E2S است.

در هر دو دستگاه معادلات فشاروردن و کژفشار برای حل عددی از روش نیمه‌ضمنی به شیوه کاملاً یکسان استفاده شده است. برای گسسته‌سازی مکانی، از طرح واره‌های سه‌ترمازی لیپ‌فراگ به همراه پالایه زمانی روبرت-آسلین استفاده شده است تا با حذف مؤلفه‌های بسامد بالا، پایداری روش حفظ شود. این روش در خیلی از مدل‌های جوی و اقیانوسی مبتنی بر روش‌های تفاضل متناهی به کار گرفته شده است از جمله POM و MICOM (بلک) و اسمیت، ۱۹۹۰؛ ملور، ۲۰۰۴؛ هان، ۲۰۱۴). این پالایه برای تابع دلخواه ϕ در مد فشاروردن به صورت زیر تعریف

۳. روش تفکیک مد و فرمول‌بندی حل عددی
در روش تفکیک مد، معادلات مد فشاروردن و معادلات مد کژفشار با گام‌های زمانی متفاوت، به طور مجزا حل می‌شوند به گونه‌ای که هم در مد فشاروردن و هم در مد کژفشار، برای هر گام زمانی مقادیر همه متغیرها (چه فشاروردن و چه کژفشار) مورد نیاز هستند. بنابراین، در هر مرحله زمانی که مد کژفشار حل می‌شود، علاوه بر مقادیر متغیرهای کژفشار، مقادیر متغیرهای فشاروردن مربوط به همان مرحله زمانی نیز استفاده می‌شوند و به همین صورت در حل مد فشاروردن نیز مقادیر متغیرهای کژفشار به کار گرفته می‌شوند. شکل ۲ طرح کلی روش تفکیک مد به کار گرفته شده را نشان می‌دهد که در آن نسبت گام (M = $\Delta t_{bc} / \Delta t_{bt}$) زمانی کژفشار به گام زمانی فشاروردن (m) برابر با ۴ انتخاب شده است. و n به ترتیب معرف مرحله زمانی در مدهای فشاروردن و کژفشار هستند و نقاط توپر معرف نقاطی است که باید مقادیر کژفشار آنها معلوم باشند تا بتوان از این مقادیر در حل عددی مد فشاروردن استفاده کرد. اگر ابتدا مد فشاروردن در مدت زمانی برابر با یک گام زمانی کژفشار حل شود، مقادیر کژفشار مورد نیاز مد فشاروردن باید در این بازه زمانی، ثابت در نظر گرفته شوند (شپتکین و مکوییامز، ۲۰۰۵؛ مول و همکاران، ۲۰۰۸)؛ اما در پژوهش حاضر، ابتدا مد کژفشار با گام زمانی بزرگ (Δt_{bc}) و به کارگیری مقادیر فشاروردن و کژفشار معلوم در مرحله زمانی m حل می‌شوند تا مقادیر کژفشار مرحله زمانی $m+1$ تعیین شوند؛ آنگاه می‌توان مقادیر کژفشار مورد نیاز در مد فشاروردن را از روی مقادیر معلوم در مد کژفشار تعیین کرد. بنابراین، هنگام حل مد فشاروردن با گام زمانی فشاروردن کوچک (Δt_{bt})، مقادیر فشاروردن معلوم در مرحله زمانی n و مقادیر کژفشار استخراج شده از مد کژفشار به کار گرفته می‌شوند تا مقادیر فشاروردن مرحله زمانی $n+1$ تعیین شوند. حل مد فشاروردن تا همزمان شدن مراحل زمانی فشاروردن و کژفشار (در شکل ۲ تا طی کردن تعداد ۴ گام زمانی فشاروردن معادل با یک گام زمانی کژفشار) تداوم

فردریکس-لوی (CFL) تعیین می‌شوند. گام زمانی مد کژفشار در مناطق کم عمقی مانند مصب‌ها حدود ۵ تا ۱۰ برابر و در مناطق عمیق اقیانوس به بیش از ۴۰ برابر مد فشاروردن می‌رسد (کانتا و کلیسون، ۲۰۰۰). در پژوهش حاضر طبق شرط CFL، گام زمانی فشاروردن Δt_{bt} از رابطه $1 \leq \sqrt{gH} \Delta t_{bt} / d$ و گام زمانی کژفشار Δt_{bc} از رابطه $\sqrt{g^H H_1 H_2 / H} \Delta t_{bc} / d \leq 1$ تعیین شده‌اند که در آن فاصله شبکه‌ای d برای هر دو راستای x و y یکسان است. پس از قرار دادن مقادیر پارامترها و مقایسه این دو رابطه می‌توان دریافت که گام زمانی کژفشار با محدودیت $\Delta t_{bc} \leq 40 \Delta t_{bt}$ مواجه است. بنابراین، بیشینه M برابر با ۴۰ انتخاب شده است.

جدول ۱. حالات‌های مختلف مقداردهی به کمیت‌های کژفشار مورد نیاز در مدل‌شاروردن بین لحظات t و $t + \Delta t_{bc}$. (عبارت‌های m و $m+1$ بیانگر بالاترین‌های متغیرهای کژفشاری هستند که در این بازه زمانی، ثابت در نظر گرفته شده‌اند و Int بیانگر درون‌یابی خطی آن متغیر است).

$(u, v)_{bc}$ و $(\zeta, \delta)_{bc}$	h'_{bc}	حالت
m	m	۱
m	$m+1$	۲
m	Int	۳
$m+1$	m	۴
$m+1$	$m+1$	۵
$m+1$	Int	۶
Int	m	۷
Int	$m+1$	۸
Int	Int	۹

۵. نتایج حل عددی

برای حل عددی معادلات آب کم عمق دولایه به روش نیمه‌ضمنی، در هر دو دستگاه معادلات فشاروردن و کژفشار به شیوه یکسان، گسسته‌سازی زمانی با استفاده از روش

می‌شود:

$$\varphi^n = \varphi^n + \alpha(\varphi^{n+1} - 2\varphi^n + \varphi^{n-1}) \quad (7)$$

که در آن، مقدار α به عنوان یک ضریب ثابت با توجه به آزمایش عددی، بین 0.05 تا $0.05/3$ تعیین می‌شود؛ به گونه‌ای که برای افزایش پایداری باید از اعداد بزرگ استفاده کرد که خود می‌تواند به افزایش خطای بریدگی (Truncation) منجر شود (دوران، ۱۹۹۹).

در هنگام حل عددی، برهم‌کنش‌های ناشی از جملات غیرخطی منجر به ایجاد خطای دگرگنامیدن (Aliasing) و در نتیجه ناپایداری غیرخطی می‌شود. برای جلوگیری از آن، می‌توان هنگام حل عددی معادله تاوایی که به شکل صریح انجام می‌شود، مقداری پخش عددی اضافه کرد (دریچل و همکاران، ۱۹۹۹؛ قادر و همکاران، ۱۳۹۱). در پژوهش حاضر نیز برای کنترل خطای این روش در معادلات تاوایی مدهای فشاروردن و کژفشار استفاده شده است.

۴. شرایط اولیه و گام زمانی

شرایط اولیه انتخاب شده برای محیطی دولایه با عمق ثابت $H_1 = H_2 = 2$ و لایه‌هایی با ارتفاع میانگین یکسان 1 شرایطی کژفشار است که مطابق با مطالعه گلشاهی و قادر (۱۳۹۶) در یک ناحیه مربع شکل $\pi < x < \pi$ و $-\pi < y < \pi$ با مرزهای دوره‌ای بهزای شتاب گرانی $g = 2\pi^2$ ، گرانی کاهیده $g' = g/400$ و پارامتر کوریولیس $f_0 = \pi/10$ به گونه‌ای تعریف شده است که مقادیر فشاروردن اولیه صفر هستند ($u_1 = -u_2 = h'_1 = h'_2 = 0$)؛ با این تفاوت که در پژوهش حاضر، میدان واگرایی کژفشار اولیه صفر نیست و با در نظر گرفتن شرایط $\partial^2 h'/\partial t^2 = 0$ تعیین شده است.

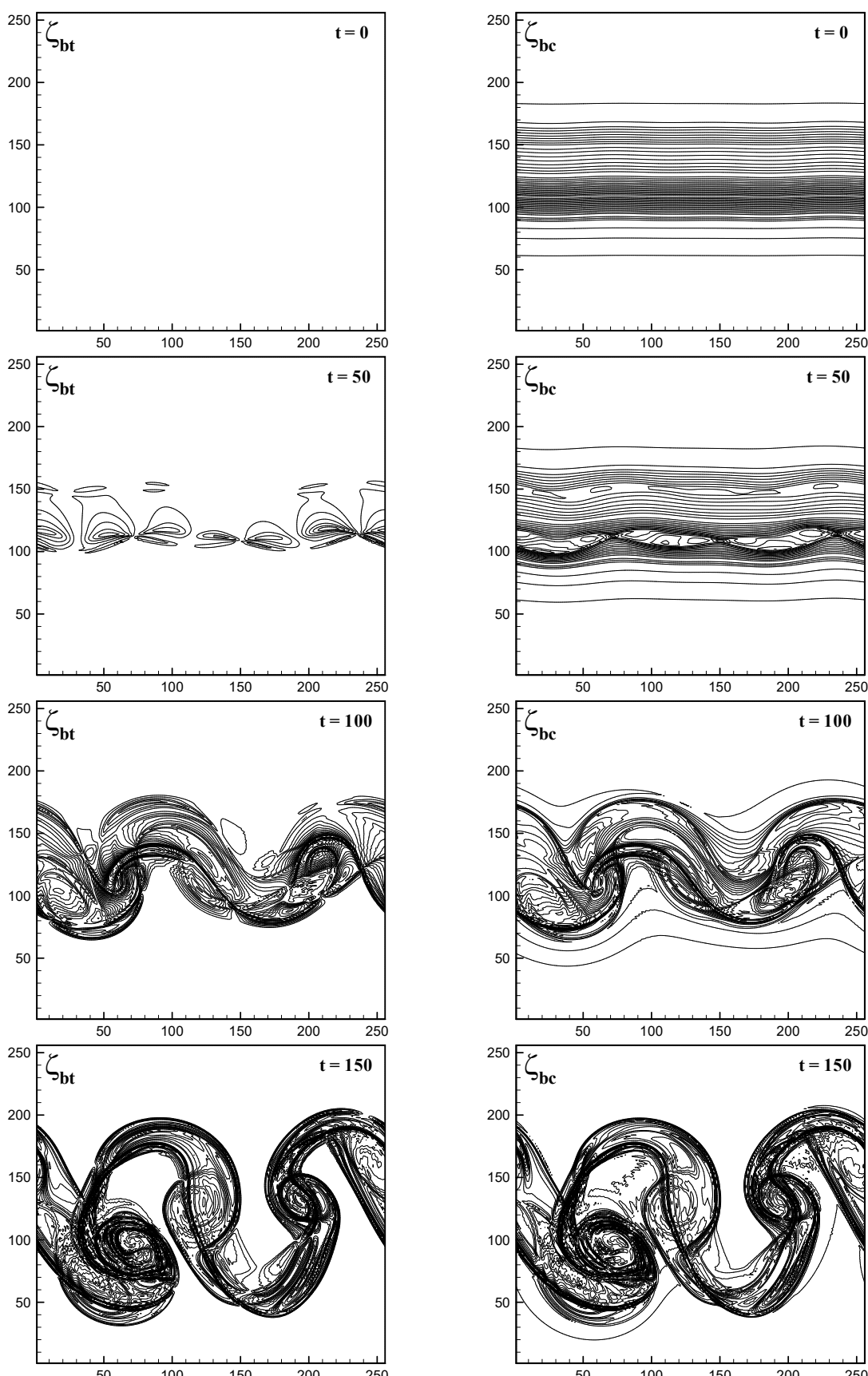
گام زمانی بخش فشاروردن سازگار با سرعت امواج گرانی سطحی و گام زمانی بخش کژفشار سازگار با سرعت امواج گرانی درونی، طبق شرط کورانت-

نظر گرفت، استفاده از پالایه زمانی مناسب است (شپتکین و ویلیامز، ۲۰۰۵؛ دبریو و همکاران، ۲۰۱۲). در کار حاضر از پالایه زمانی روبرت-آسلین استفاده شده است که باید ضریب مناسب آن تعیین شود. ابتدا مقدار $\alpha = 0.05$ در حالت پایه ($M=1$) انتخاب شد؛ همان‌گونه که انتظار می‌رفت بازای هرسه تفکیک 256×256 ، 64×64 و 128×128 روش C4S نسبت به روش E2S دارای عملکرد بهتری در پایسته نگهداشتن انرژی است و در هردو روش E2S و C4S ناپایداری عددی مشاهده نمی‌شود (گلشاهی و قادر، ۱۳۹۶)؛ اما بازای $M > 1$ برای روش C4S باید از ضریب بزرگ‌تری در پالایه زمانی استفاده کرد. برای نمونه، شکل ۵، منحنی‌های خطای انرژی روش‌های E2S-1 و C4S-1 را برای مقادیر مختلف α ($0.05 \leq \alpha \leq 0.06$) در تفکیک 64×64 و $M=4$ نشان می‌دهد. مطابق این شکل، روش C4S-1 بازای 0.054 ($\alpha = 0.054$) در شرف ناپایداری و در مقادیر کوچک‌تر کاملاً ناپایدار است و برای پایداری آن باید از ضریب $\alpha \geq 0.055$ استفاده کرد؛ در حالی که روش E2S-1 بازای 0.05 پایدار است. همچنین، با افزایش ضریب پالایه در حالت‌های پایدار، منحنی‌های خطای انرژی تقریباً برهم منطبق هستند؛ به عبارتی، با اندکی افزایش در ضریب پالایه زمانی، ضمن حفظ پایداری عددی تغییر قابل ملاحظه‌ای در منحنی‌های خطای ایجاد نمی‌شود. در کار حاضر، برای این که بتوان نتایج روش‌های مختلف را در شرایط یکسان مقایسه کرد، ضریب پالایه زمانی برای همه آزمایش‌ها، مقداری ثابت و برابر با $\alpha = 0.06$ انتخاب شده است تا مقدار آن در حین کوچک‌بودن، به مرز ناپایداری نزدیک نباشد.

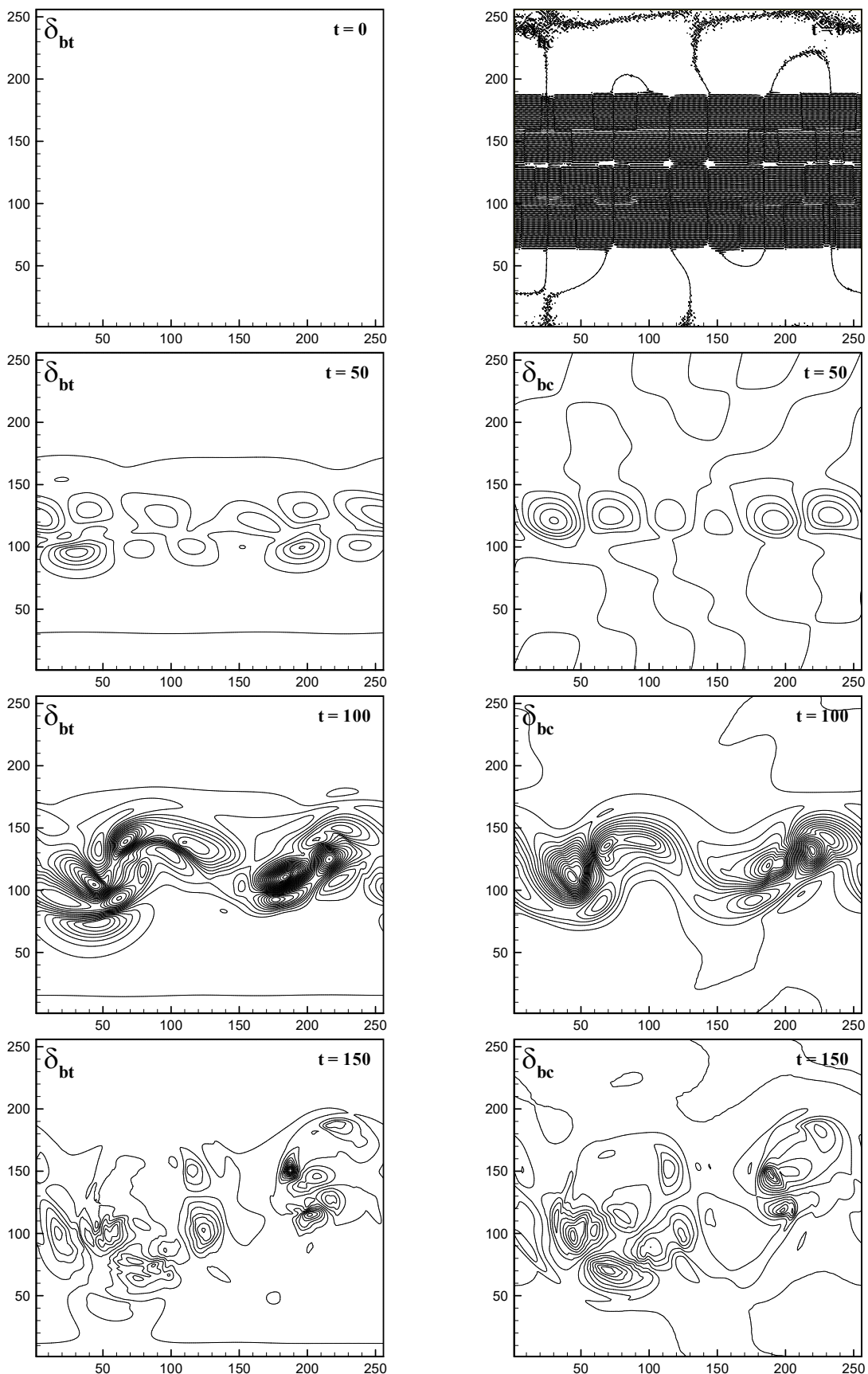
لیپ فراگ به همراه پالایه زمانی روبرت-آسلین و گسسته‌سازی مکانی با روش‌های E2S و C4S در شبکه‌هایی با تفکیک 64×64 ، 128×128 و 256×256 طبق شرط CFL به ترتیب با گام‌های زمانی فشاروردن 0.01 ، 0.025 و 0.05 انجام شده است. با توجه به این که گام زمانی کثافشار مضرب صحیحی از گام زمانی فشاروردن است ($\Delta t_{bc} = M \Delta t_{bt}$)، برای ضریب M مقادیر 2 ، 4 ، 10 و 20 انتخاب شده‌اند. بازای $M=1$ گام‌های زمانی فشاروردن و کثافشار با هم برابرند و آن معادل با شرایطی است که گویی از روش تفکیک مدد استفاده نشده است. در هر تفکیک شبکه و برای هر یک از روش‌های E2S و C4S، نتایج مربوط به $M=1$ به عنوان حالت پایه در نظر گرفته شده است تا بتوان سایر روش‌ها را با آن مقایسه کرد. نتایج نشان می‌دهند که در هردو روش E2S و C4S، میدان‌های فشاروردن و کثافشار حاصل از روش تفکیک مدد به خوبی بر میدان‌های متناظر آنها در حالت پایه منطبق هستند. شکل‌های ۳ و ۴ تحول زمانی میدان‌های تواویی و واگرایی فشاروردن و کثافشار را با استفاده از روش C4S-9 بازای $M=20$ و تفکیک 256×256 نشان می‌دهند.

برای بررسی دقیق نتایج، توانایی هر یک از روش‌ها در پایسته نگهداشتن انرژی مورد ارزیابی قرار گرفته است. اگر E_0 انرژی کل اولیه و E_t انرژی کل در لحظه t باشد، عبارت $|E_t - E_0|/|E_0|$ بیانگر خطای نسبی انرژی در لحظه t است که در اینجا به صورت مختصر «خطای انرژی» اطلاق می‌شود. توضیحات کامل در مورد نحوه محاسبه خطای انرژی توسط گلشاهی و قادر (۱۳۹۶) ارائه شده است.

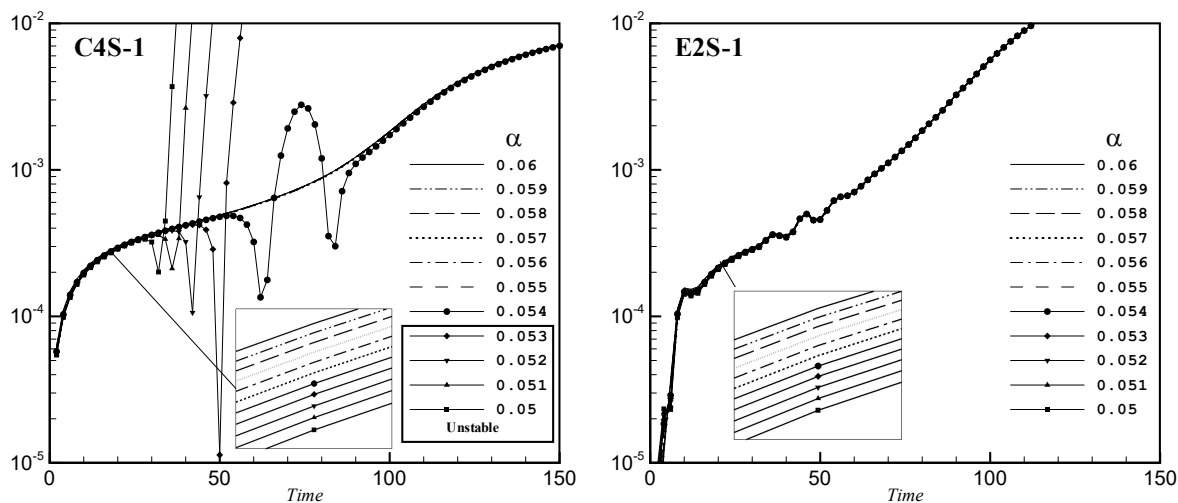
یکی از مواردی که در روش تفکیک مدد باید در



شکل ۳. تحول زمانی ζ_{bt} و ζ_{bc} در نتیجه ζ_{bt} با روش C4S-9.



شکل ۴. تحول زمانی δ_{bt} و δ_{bc} در تکیکی $C4S-9$ با روش $M=۲۰$ و $\alpha = ۰/۰۶$ در ۲۵۶×۲۵۶



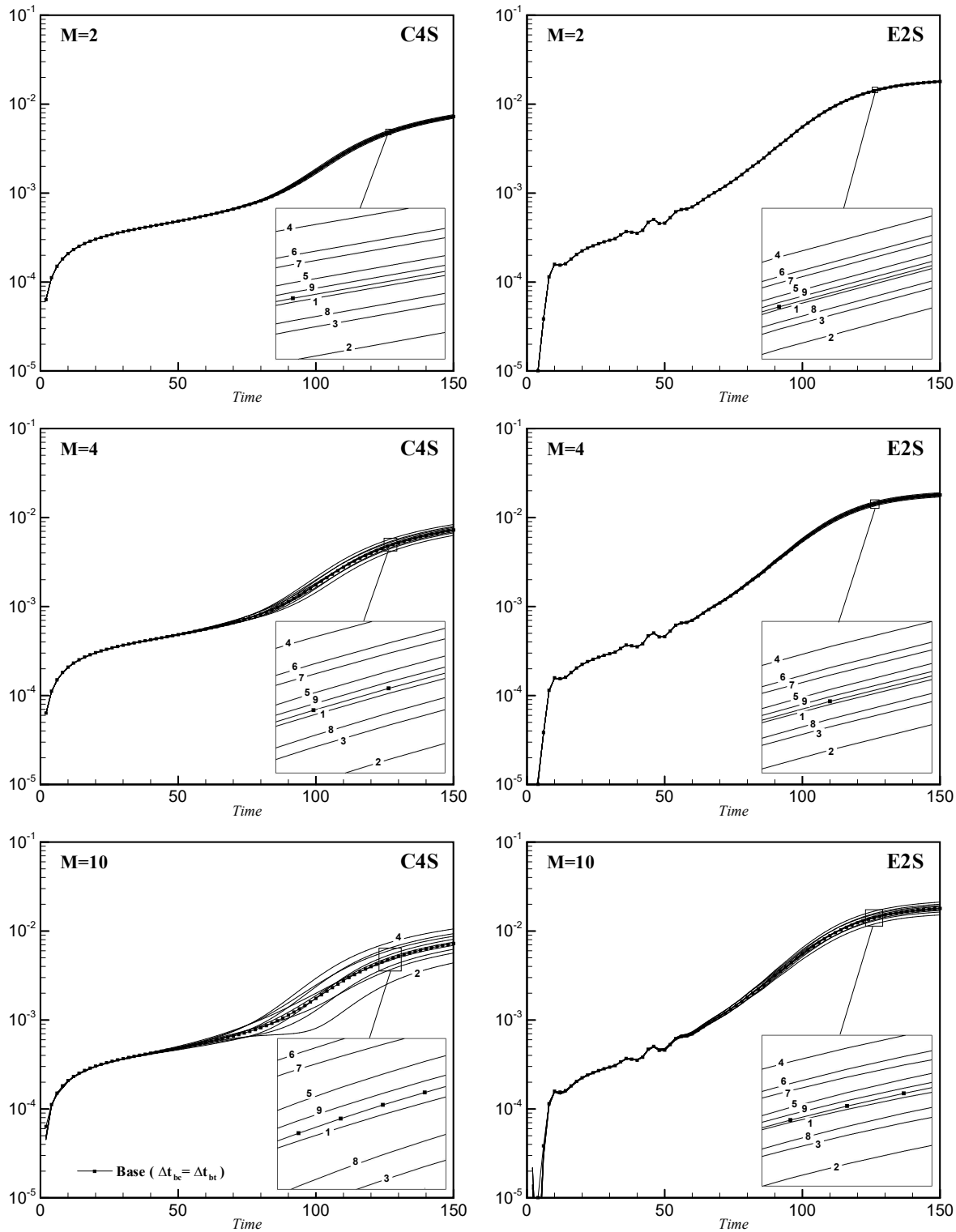
شکل ۵. منحنی های خطای انرژی روش های C4S-1 و E2S-1 برای $M=4 \times 64$ و $M=20 \times 64$ به ازای تفکیک α برابر $0.05 \leq \alpha \leq 0.06$

است، از لحاظ مدت زمان پردازش نیز نسبت به $M=20$ مزیت زیادی ندارد. برای نمونه، جدول ۲ درصد کاهش زمان پردازش به صورت نظری و تجربی را نشان می دهد که در آن مقادیر نظری در بازه زمانی $40 \Delta t_{bt}$ و مقادیر تجربی براساس حل عددی با استفاده از روش C4S-9 تعیین شده اند. نحوه محاسبه درصد کاهش زمان پردازش به صورت نظری در جدول ۳ ارائه شده است. مقادیر نظری با این فرض تعیین شده اند که مدت زمان پردازش برای همه گام های زمانی فشار ورد و کث فشار یکسان است و ذخیره و بازیابی داده ها، وقفه ایجاد نمی کند؛ در حالی که در واقعیت، بخشی از زمان پردازش صرف ذخیره سازی و بازیابی داده ها می شود، به همین دلیل و سایر عواملی که پردازنده سیستم با آن مواجه است، مقادیر تجربی، اندکی کمتر از مقادیر نظری اند. لازم به ذکر است که حالت های ۹ گانه از لحاظ سرعت پردازش، تقریباً با هم برابرند و زمان پردازش بیشتر متاثر از مقدار M است.

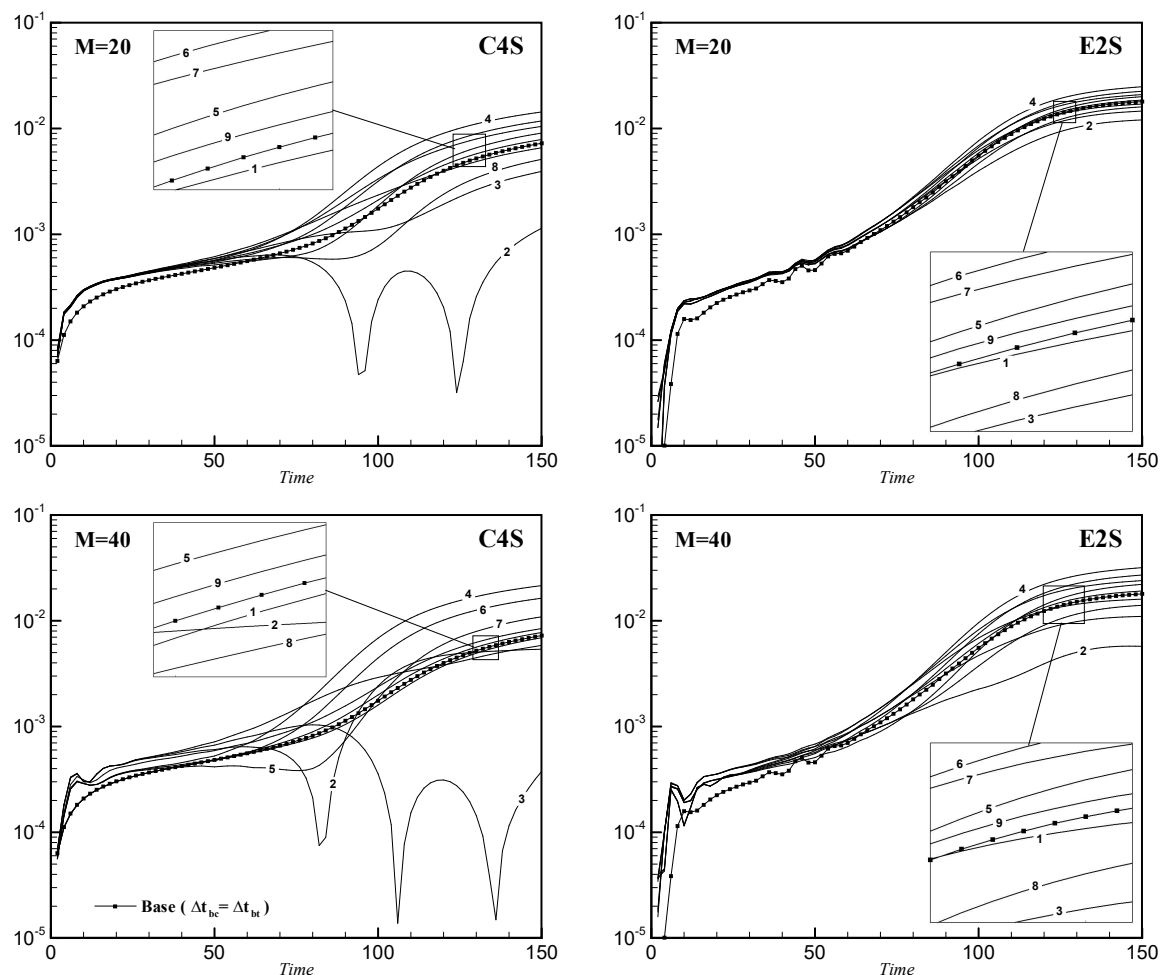
شکل های ۶ و ۷ منحنی های خطای انرژی روش های C4S و E2S را در تفکیک 64×64 برای حالت های ۹ گانه به ازای مقادیر مختلف M نشان می دهند. همان گونه که می توان مشاهده کرد، هرچه M بزرگتر باشد، منحنی های خطای حالت های ۱ تا ۹ بیشتر از هم متمایز می شوند. این ویژگی در روش E2S دارای شدت کمتری است؛ به عبارتی روش E2S نسبت به روش C4S حساسیت کمتری به حالت های ۹ گانه دارد. به علاوه، در $M=40$ و با شدت کمتر در $M=20$ ، خطای لحظات اولیه متفاوت با حالت پایه است در حالی که در $M=10$ تا حدود $=50$ تقریباً همه منحنی ها بر منحنی حالت پایه منطبق هستند و با گذشت زمان که خطاهای افزایش می بایند، اختلاف ها نمایان می شوند. این مسئله در $M=40$ با افت و خیز نیز همراه است. باید توجه داشت که از لحاظ کاهش زمان پردازش $M=20$ و $M=40$ میان $M=40$ و $M=20$ اختلاف زیادی وجود ندارد. بنابراین، در شبکه هایی با تفکیک کم (Low-Resolution)، استفاده از $M=40$ علاوه بر این که با افزایش خطای همراه

جدول ۲. درصد کاهش زمان پردازش نسبت به حالت پایه به صورت نظری در بازه زمانی $40 \Delta t_{bt}$ و مقادیر تجربی آنها در روش C4S-9.

$M=40$	$M=20$	$M=10$	$M=4$	$M=2$	مقدار نظری
۴۸/۷۵	۴۷/۵	۴۳/۷۵	۳۷/۵	۲۵	مقدار نظری
۴۶/۷۶	۴۶/۰۰	۴۳/۳۵	۳۵/۷۷	۲۳/۳۶	مقدار تجربی در تفکیک 64×64
۴۵/۷۸	۴۵/۲۶	۴۲/۹۱	۳۴/۵۵	۲۳/۲۸	مقدار تجربی در تفکیک 128×128



شکل ۶. منحنی های خطای انرژی روش های C4S و E2S در حالت های ۹ گانه به ازای تکیکی 64×64 و $\alpha = 0.06$ برای 2 و 4 و 10 م



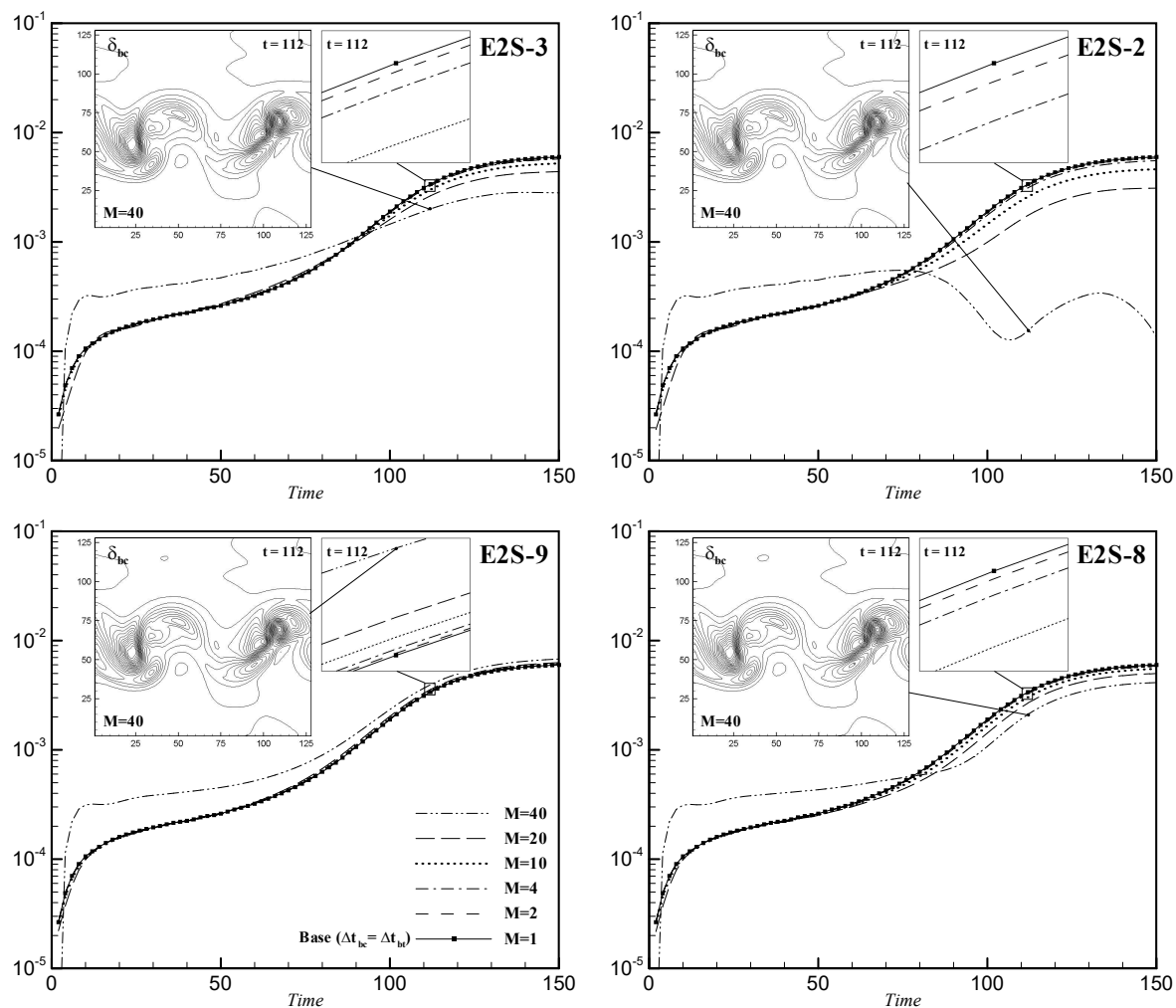
شکل ۷. مشابه شکل ۶ ولی برای ۴۰ و ۲۰

به ویژه $M=40$ با افت و خیز شدیدی همراه است که همانند شکل ۵، می‌تواند نشانه مستعد بودن آنها به ناپایداری باشد. در روش E2S، این افت و خیزها مشاهده نمی‌شوند و بهترین عملکرد روش E2S در حالت ۲ و پس از آن در حالت‌های ۳ و ۸ حاصل می‌شود. تفاوت این حالت‌ها، در تفکیک 64×64 برای روش E2S چندان زیاد نیست ولی هر چه تفکیک شبکه بیشتر باشد، تفاوت‌ها بیشتر آشکار می‌شوند.

با مقایسه منحنی‌های خطای انرژی در تفکیک 64×64 می‌توان دریافت که در هردو روش C4S و E2S، بیشترین خطای بهتریب مربوط به حالت‌های ۴، ۶، ۷ و ۵ است؛ بنابراین، از بررسی آنها در شبکه‌هایی با تفکیک بیشتر صرف نظر شده است. همچنین نزدیک‌ترین منحنی خطای به منحنی حالت پایه، مربوط به حالت ۱ و ۹ می‌باشد. در روش C4S، اگرچه حالت‌های ۲ و ۳ از خطای کمتری برخوردار هستند ولی منحنی خطای آنها به بازی $M=20$ و

جدول ۳. نحوه محاسبه درصد کاهش زمان پردازش به صورت نظری.

$M=40$	$M=20$	$M=10$	$M=4$	$M=2$	$M=1$	
$40+1$	$40+2$	$40+4$	$40+10$	$40+20$	$40+40$	تعداد گام‌های زمانی فشاروردن و کژفشار برای Δt_{bt}
۳۹	۳۸	۳۶	۳۰	۲۰		تعداد کاهش گام زمانی نسبت به حالت پایه
$\frac{39}{80}$	$\frac{38}{80}$	$\frac{36}{80}$	$\frac{30}{80}$	$\frac{20}{80}$		کاهش نسبی زمان پردازش
$48/75$	$47/5$	$43/75$	$37/5$	۲۵		درصد کاهش زمان پردازش



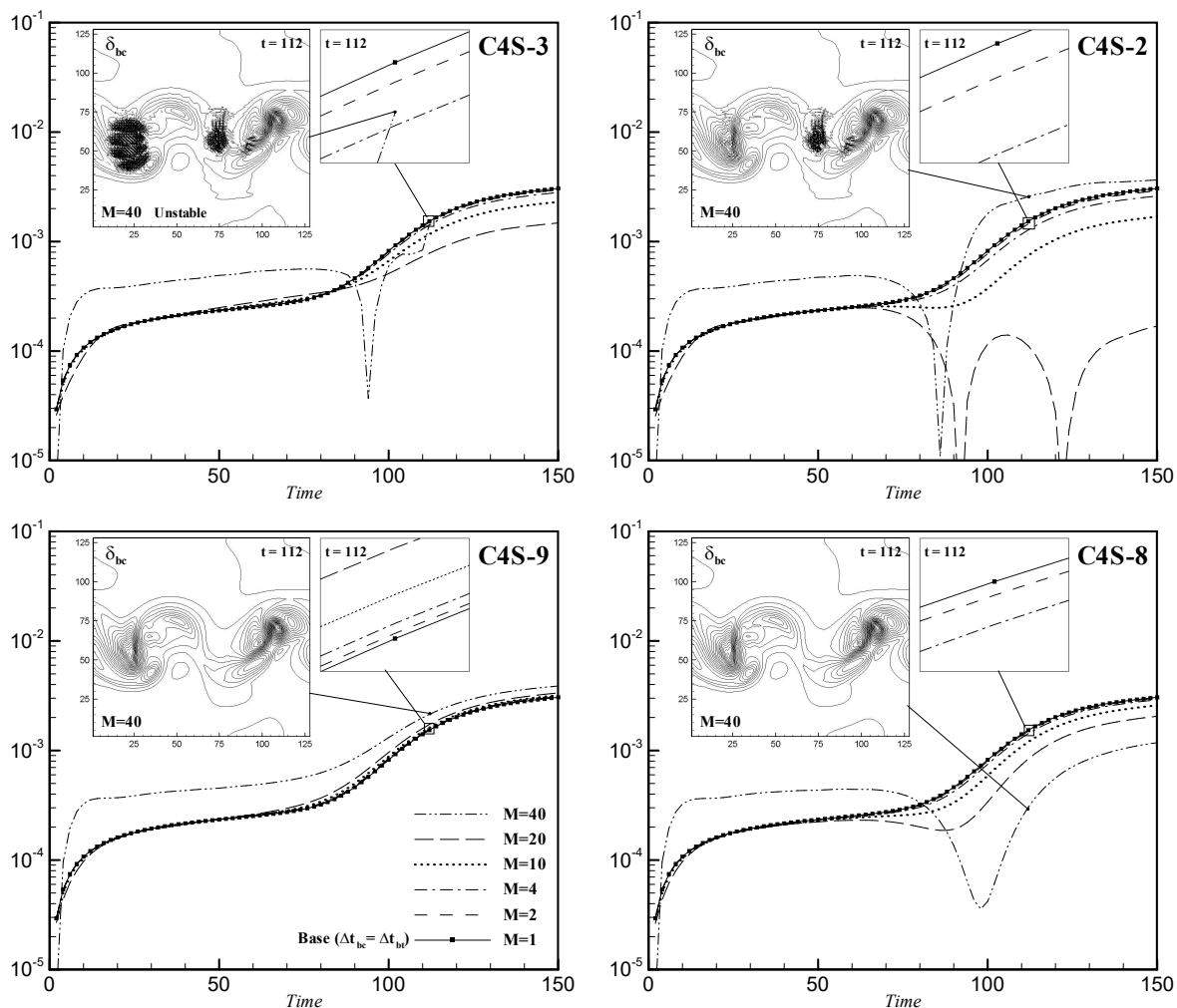
شکل ۸ منحنی های خطای انرژی روش E2S در حالت های ۲، ۳، ۸ و ۹ به ازای تفکیک 128×128 و برای M های مختلف به همراه میدان تاوایی کُرُفشار آنها در لحظه $t=112$ برای $M=40$.

روش C4S، نیز حالت های ۲ و ۳ دارای خطای کمتری هستند با این تفاوت که در M های بزرگ بسته ناپایداری میل می کنند. مطابق شکل ۹، منحنی خطای انرژی روش ۲- $C4S$ در $M=40$ ، بعد از یک افت شدید با افزایش قابل ملاحظه ای همراه است که کم کم به وضعیت پایا (Steady) می رسد. این وضعیت را می توان در شکل ۷ در تفکیک 64×64 نیز مشاهده کرد؛ اما در تفکیک 128×128 با اغتشاش و آشفتگی میدان های تاوایی، واگرایی و ارتفاع نیز همراه است. با وجود این، روش ۲- $C4S$ پایدار باقی می ماند و آشفتگی ها که در حدود $t=82$ شروع شده اند، حدود $t=186$ محو می شوند. بنابراین، می توان نتیجه گرفت که به ازای ضریب پالایه

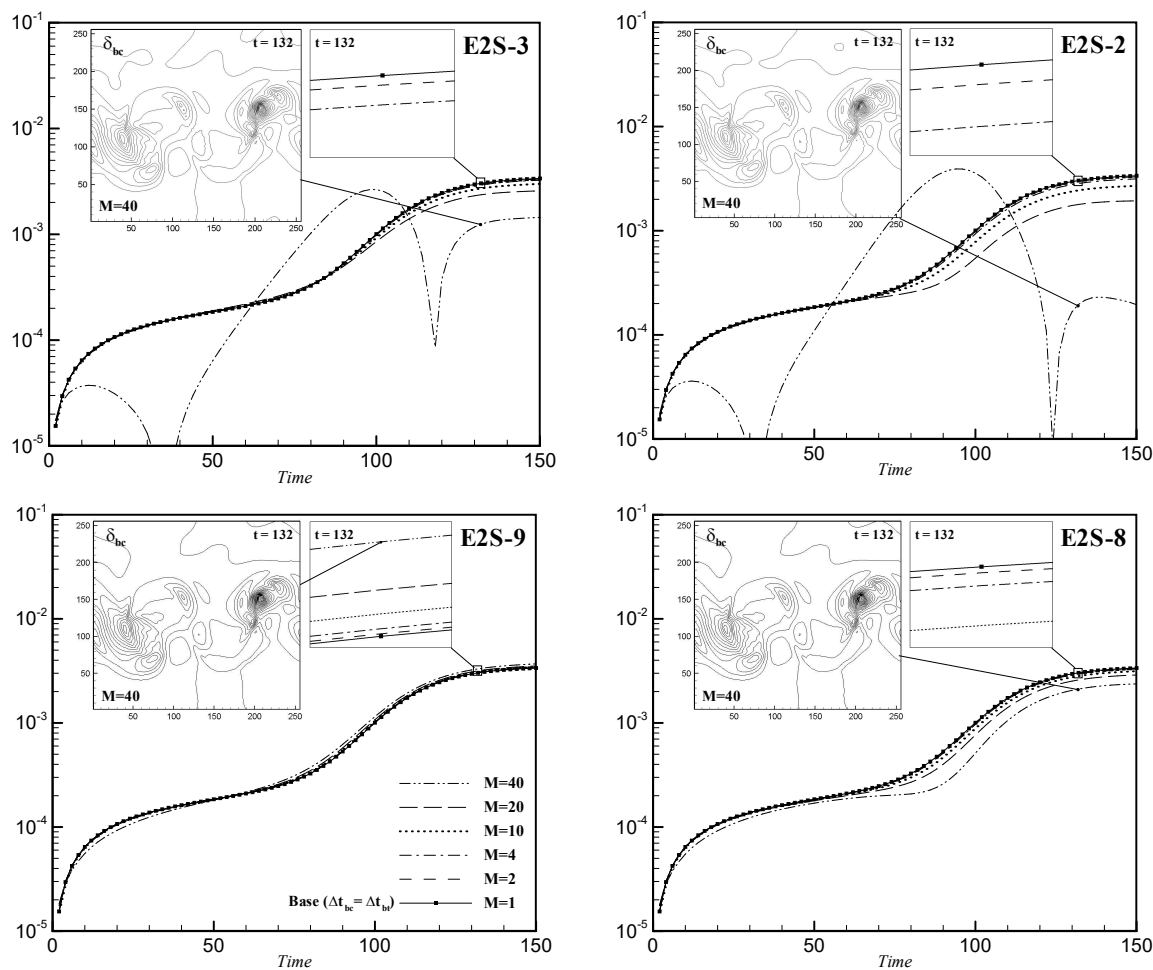
شکل های ۸ و ۹، منحنی های خطای انرژی روش های E2S و C4S را برای تفکیک 128×128 و $\alpha = 0.06$ در حالت های ۲، ۳، ۸ و ۹ نشان می دهند. در روش E2S، کمترین خطای به ترتیب مربوط به حالت های ۲، ۳ و ۸ است. حالت های ۱ و ۹ که نزدیک ترین حالت ها به حالت پایه محسوب می شوند، منحنی خطای انرژی تقریباً پکسانی دارند (در اینجا منحنی E2S-1 ارائه نشده است). تفاوت منحنی های خطای این دو روش با گذشت زمان، این است که منحنی E2S-1 اندکی حول حالت پایه افت و خیز دارد در حالی که منحنی E2S-9، همیشه اندکی بالاتر از منحنی حالت پایه باقی می ماند. این رفتار E2S-9 را می توان علاوه بر شکل ۸ در شکل های ۶ و ۷ نیز مشاهده کرد. در

$\alpha = \alpha_{\text{N}} / \alpha_{\text{L}}$ نیز رفع نمی‌شوند. این روش در $M=4$ نیز بهازای $M=40$ ناپایدار است ولی بهازای $M=10$ ناپایداری آن رفع می‌شود و آشفتگی‌ها نیز از بین می‌روند. بنابراین اگرچه حالت‌های ۱، ۲ و ۳ در تفکیک 64×64 برای روش C4S در ضمن ناپایداری دارای خطای کمتر و بدون ایجاد آشفتگی هستند ولی در تفکیک‌های زیاد، گزینه‌های مناسبی محسوب نمی‌شوند. در مقابل، حالت ۹ با رفتاری نزدیک به حالت پایه و حالت ۸ با خطای انرژی کمتر می‌توانند گزینه‌های خوبی برای روش C4S باشند.

$\alpha = \alpha_{\text{N}} / \alpha_{\text{L}}$ روش C4S-2 در تفکیک 128×128 و $M=40$ در آستانه ناپایداری است و باید در پایایه زمانی روبرت-آلین از ضرب بزرگتری استفاده کرد. بروز این آشفتگی‌ها در روش C4S-3 به حدی است که موجب سریز (Overflow) شدن در $t=112$ می‌شود و حل عددی به ناپایداری ختم می‌شود. برای نمایش این آشفتگی‌ها، میدان واگرایی کثشفشار لحظه $t=112$ ، به شکل‌های ۸ و ۹ اضافه شده است. روش C4S-1 نیز همانند C4S-3 ناپایدار است به گونه‌ای که آشفتگی‌های آن حتی بهازای $M=10$ نیز همانند C4S-3 ناپایدار است.



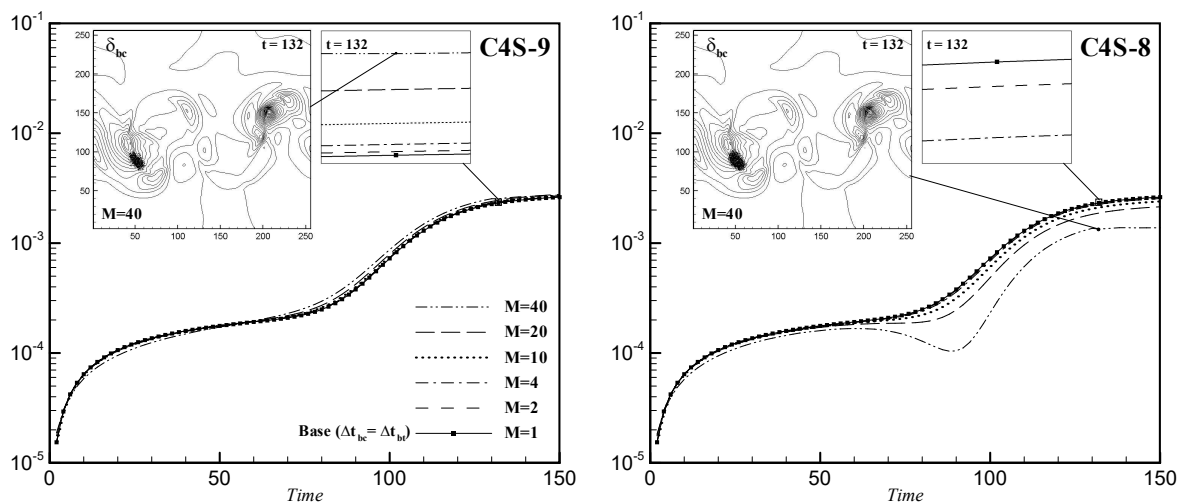
شکل ۹. مشابه شکل ۸ ولی برای روش C4S



شکل ۱۰. منحنی های خطای انرژی روش E2S در حالت های ۲، ۳، ۸ و ۹ به ازای تفکیک 256×256 و $\alpha = 0.06$ برای M های مختلف به همراه میدان تابعی کثFFFFFF فشار آنها در لحظه $t=132$ برای $M=40$ در $t=0$

میدان ها منجر می شود. حالت های ۸ و ۹ می توانند جایگزین مناسبی باشند؛ با وجود این، مطابق شکل ۱۱ در تفکیک 256×256 به ازای $\alpha = 0.06$ حتی روش های آشفتگی همراه هستند. آشفتگی های ایجاد شده در میدان واگرایی کثFFFFFF فشار که در حدود $t=132$ شروع شده اند، در حدود $t=170$ محو می شوند و هردو روش پایدار باقی می مانند. بنابراین، برای $C4S-9$ و $C4S-8$ تفکیک 256×256 در $M=40$ ، روش های $C4S-8$ و $C4S-9$ به ازای $\alpha = 0.06$ در شرف ناپایداری هستند و برای به کار گیری آنها در $M=40$ باید از ضریب بزرگتری در $M \leq 20$ پالایه زمانی روبرت - آسلین استفاده شود. در همانند شکل های ۳ و ۴، هیچ گونه آشفتگی در میدان های فشاروردن و کثFFFFFF فشار مشاهده نمی شود و این دو روش کاملاً پایدار هستند.

شکل ۱۰ منحنی های خطای انرژی روش E2S را به ازای تفکیک 256×256 و $\alpha = 0.06$ ، برای مقادیر مختلف M در حالت های ۲، ۳، ۸ و ۹ نشان می دهد. همان گونه که انتظار می رفت منحنی های روش ۹ تقریباً برای همه M ها، خیلی نزدیک به منحنی حالت پایه باقی می مانند. روش های E2S-3 و E2S-2 نسبت به حالت پایه خطای کمتری دارند؛ به جز در $M=40$ که منحنی های خطای با افت و خیز شدیدی همراه است؛ به گونه ای که در پربند های واگرایی کثFFFFFF فشار نیز نوعی اعوجاج مشاهده می شود. در حالی که روش های E2S-8 و E2S-9 در حین پایداری و بدون ایجاد آشفتگی حتی در $M=40$ نیز از عملکرد نسبتاً خوبی برخوردار هستند. همان گونه که در تفکیک 128×128 مشاهده شد، استفاده از حالت های ۲ و ۳ برای روش C4S در M های بزرگ، به ناپایداری و آشفتگی



شکل ۱۱. منحنی‌های خطای انرژی روش C4S در حالت‌های ۸ و ۹ به ازای تفکیک 256×256 و $\alpha = 0.06$ برای M ‌های مختلف بهمراه میدان تاوایی کثفشار آنها در لحظه‌ی $t=132$ برای $M=40$.

چهارم بخلاف روش مرتبه دوم مرکزی، ناپایدار‌کننده است؛ در حالی که با درونیابی زمانی مقادیر کثفشار تقریباً در هردو روش می‌توان نتایجی بهتر و شرایطی پایدارتر را فراهم کرد. به طور کلی، تعیین پالایه زمانی مناسب و ارائه راهکاری جهت بهبود نتایج روش تفکیک مدد به ویژه در گام‌های زمانی کثفشار بزرگ، از جمله مواردی است که می‌توانند در پژوهش‌های آتی مورد ارزیابی قرار گیرند.

مراجع

- قادر، س.، احمدی‌گیوی، ف. و گلشاهی، ح.، ۱۳۸۹، مقایسه عملکرد روش‌های ابرفسرده و فشرده ترکیبی مرتبه ششم در گستره‌سازی مکانی مدل آب کم عمق دولایه‌ای: نمایش امواج گرانی-لختی و راسی خطي. مجله ژئوفیزیک ایران، ۴(۲)، ۶۹-۴۹.
- قادر، س.، احمدی‌گیوی، ف. و گلشاهی، ح.، ۱۳۹۱، حل عددی معادلات آب کم عمق با استفاده از روش فشرده ترکیبی مرتبه ششم. مجله ژئوفیزیک ایران، ۴(۴)، ۳۵-۴۹.
- گلشاهی، ح. و قادر، س.، ۱۳۹۶، حل عددی معادلات آب کم عمق دولاویه بر حسب متغیرهای فشارورده و کثفشار با استفاده از روش فشرده مرتبه چهارم. مجله ژئوفیزیک ایران، ۱۱(۲)، ۱-۱۴.

۶. نتیجه‌گیری

در پژوهش حاضر، با به کارگیری متغیرهای فشارورده و کثفشار برای میدان‌های واگرایی، تاوایی و ارتفاع، دستگاه معادلات آب کم عمق دولایه به دو بخش فشارورده و کثفشار تقسیم شد تا بتوان هنگام حل عددی، از روش تفکیک مدد با گام‌های زمانی متفاوت استفاده کرد. ابتدا مد کثفشار حل می‌شود، تا بتوان مقادیر کثفشار موردنیاز در مد فشارورده را با درونیابی زمانی تعیین کرد. نتایج نشان می‌دهند که برای گام‌های زمانی کثفشار بزرگ، تا حدود ۲۰ برابر گام زمانی فشارورده، در هردو روش مرتبه دوم مرکزی و فشرده مرتبه چهارم انطباق خوبی بین میدان‌های فشارورده و کثفشار با میدان‌های متناظر آنها در گام‌های زمانی فشارورده و کثفشار یکسان (حالت پایه)، وجود دارد. هرچه گام زمانی کثفشار بزرگ‌تر از گام زمانی فشارورده باشد، اختلاف منحنی‌های خطای انرژی نسبت به حالت پایه بیشتر نمایان می‌شود. این اختلاف در روش فشرده مرتبه چهارم به حدی است که می‌تواند به ناپایداری عددی نیز منجر شود و برای رفع آن باید از ضربه بزرگ‌تری در پالایه زمانی استفاده کرد؛ اما روش مرتبه دوم مرکزی حساسیت کمتری دارد و با ضربه کوچک‌تر نیز پایدار باقی می‌ماند. همچنین، ثابت گرفتن مقادیر کثفشار در مد فشارورده برای روش فشرده مرتبه

- Bleck, R. and Smith, L.T., 1990, A wind-driven isopycnic coordinate model of the north and equatorial Atlantic Ocean: 1. Model development and supporting experiments. *Journal of Geophysical Research: Oceans*, 95(C3), 3273-3285.
- Bouchut, F., Ribstein, B. and Zeitlin, V., 2011, Inertial, barotropic, and baroclinic instabilities of the Bickley jet in two-layer rotating shallow water model. *Physics of Fluids*, 23(12), 126601, <https://doi.org/10.1063/1.3661995>
- Chen, C., Liu, H. and Beardsley, R. C., 2003, An unstructured grid, finite-volume, three-dimensional, primitive equations ocean model: application to coastal ocean and estuaries. *Journal of Atmospheric and Oceanic Technology*, 20(1), 159-186.
- Comblen, R., Blaise, S., Legat, V., Remacle, J. F., Deleersnijder, E. and Lambrechts, J., 2010, A discontinuous finite element baroclinic marine model on unstructured prismatic meshes. *Ocean Dynamics*, 60(6), 1395-1414.
- Debreu, L., Marchesiello, P., Penven, P. and Cambon, G., 2012, Two-way nesting in split-explicit ocean models: Algorithms, implementation and validation. *Ocean Modelling*, 49, 1-21.
- Demange, J., Debreu, L., Marchesiello, P., Lemarié, F., Blayo, E. and Eldred, C., 2019, Stability analysis of split-explicit free surface ocean models: Implication of the depth-independent barotropic mode approximation. *Journal of Computational Physics*, 398, 108875, <https://doi.org/10.1016/j.jcp.2019.108875>
- Dritschel, D. G., Polvani, L. M. and Mohebalhojeh, A. R., 1999, The contour-advection semi-Lagrangian algorithm for the shallow water equations. *Monthly Weather Review*, 127(7), 1551-1565.
- Durran, D. R., 1999, Numerical methods for wave equations in geophysical fluid dynamics. Springer, 465.
- Han, L., 2014, A two-time-level split-explicit ocean circulation model (MASNUM) and its validation. *Acta Oceanologica Sinica*, 33(11), 11-35.
- Higdon, R. L., 2020, Discontinuous Galerkin methods for multi-layer ocean modeling: Viscosity and thin layers. *Journal of Computational Physics*, 401, 109018, <https://doi.org/10.1016/j.jcp.2019.109018>
- Hirsh, R. S., 1975, Higher order accurate difference solutions of fluid mechanics problems by a compact differencing technique. *Journal of Computational Physics*, 19, 90-109.
- Huang, H., Chen, C., Cowles, G. W., Winant, C. D., Beardsley, R. C., Hedstrom, K. S. and Haidvogel, D. B., 2008, FVCOM validation experiments: Comparisons with ROMS for three idealized barotropic test problems. *Journal of Geophysical Research*, 113(C7), C07042, <https://doi.org/10.1029/2007JC004557>.
- Kang, H. G., Evans, K. J., Petersen, M. R., Jones, P. W. and Bishnu, S., 2021, A scalable semi-implicit barotropic mode solver for the MPAS Ocean. *Journal of Advances in Modeling Earth Systems*, 13(4), e2020MS002238.
- Kantha, L. H. and Clayson, C. A., 2000, Numerical models of oceans and oceanic processes. Academic Press, 940.
- Karsten, R. H. and Swaters, G. E., 1999, A unified asymptotic derivation of two-layer, frontal geostrophic models including planetary sphericity and variable topography. *Physics of Fluids*, 11(9), 2583-2597.
- Lazure, P. and Dumas, F., 2008, An external-internal mode coupling for a 3D hydrodynamical model for applications at regional scale (MARS). *Advances in Water Resources*, 31(2), 233-250.
- Lele, S. K., 1992, Compact finite difference schemes with spectral-like resolution. *Journal of Computational Physics*, 103, 16-42.
- Madala, R. V. and Piacsek, S. A., 1977, A semi-implicit numerical model for baroclinic oceans. *Journal of Computational Physics*, 23, 167-178.
- Mellor, G. L., 2004, Users guide for a three-dimensional, primitive equation, numerical ocean model (January 2004 version) In: Program in Atmospheric and Oceanic Sciences. Princeton University, Princeton, NJ 08544-0710, 56.
- Morel, Y., Baraille, R. and Pichon, A., 2008, Time splitting and linear stability of the slow part of the barotropic component. *Ocean Modelling*, 23(3-4), 73-81.
- O'Brien, J. J. and Hurlburt, H. E., 1972, A numerical model of coastal upwelling. *Journal of Physical Oceanography*, 2, 14-26.
- Qiang, W., Zhou, W. and Wang, D., 2014, Implementation of new time integration methods in POM. *Ocean Dynamics*, 64(5), 643-654.
- Shchepetkin, A. F. and McWilliams, J. C., 2005, The regional oceanic modeling system (ROMS): a split-explicit, free-surface, topography-following-coordinate oceanic model. *Ocean Modelling*, 9(4), 347-404.
- Simonnet, E., Ghil, M., Ide, K., Temam, R. and Wang, S., 2003, Low-frequency variability in shallow-water models of the wind-driven ocean circulation. Part I: Steady-state solution. *Journal of Physical Oceanography*, 33(4),

- 712-728.
- Smith, R., Jones, P., Briegleb, B., Bryan, F., Danabasoglu, G., Dennis, J., Dukowicz, J., Eden, C., Fox-Kemper, B., Gent, P., Hecht, M., Jayne, S., Jochum, M., Large, W., Lindsay, K., Maltrud, M., Norton, N., Peacock, S., Vertenstein, M. and Yeager, S., 2010, The parallel ocean program (POP) reference manual ocean component of the community climate system model (CCSM) and community earth system model (CESM). LAUR-01853, 141, 1-140.
- Spydell, M. and Cessi, P., 2003, Baroclinic modes in a two-layer basin. *Journal of Physical Oceanography*, 33(3), 610-622.
- Tanaka, Y. and Akitomo, K., 2010, Alternating zonal flows in a two-layer wind-driven ocean. *Journal of Oceanography*, 66(4), 475-487.
- Zhuang, Z., Yuan, Y. and Yang, G., 2018, An ocean circulation model in σ -S-z- σ B hybrid coordinate and its validation. *Ocean Dynamics*, 68(2), 159-175.

Numerical solution of two-layer shallow water equations using mode splitting method

Golshahy, H.*

Assistant Professor, Department of Physics, Shoushtar Branch, Islamic Azad University, Shoushtar, Iran

(Received: 5 Dec 2021, Accepted: 19 April 2022)

Summary

In the numerical models that use iterative methods to solve the momentum equations by applying the rigid-lid approximation, the number of iterations increases for high resolution, therefore processing time increases. An alternative method is applying a free surface and splitting equations to barotropic and baroclinic modes. The surface gravity waves that are faster than slow moving internal gravity waves; impose a limitation on the time steps with the CFL condition. Thus, mode splitting method is computationally efficient to handle the multiple time steps separating the barotropic and baroclinic mode equations. In this method, the barotropic mode equations are solved at small time steps consistent with the fast surface gravity wave speeds and the baroclinic mode equations are solved at larger time steps consistent with the slow internal gravity wave speeds. This is used in most of the ocean circulation models and is an unavoidable choice to high resolution models.

In this study, we considered the shallow water equations for two-layer basin with vorticity-divergence formulation using mode splitting method by a small time step of barotropic mode within a larger time step of baroclinic mode. The primary systems of equations that contain both upper and lower layer variables, are rewritten in terms of new (barotropic and baroclinic) variables without any variation or more approximation of primary systems. This procedure can be extended to multi-layer systems so that primary N-layer system of equations is changed to 1 system of barotropic mode equations and N-1 systems of baroclinic mode equations coupled together.

For numerical experiments, a fully baroclinic (non-barotropic) initial condition is considered in a constant depth rectangular domain with 64, 128 and 256 grid points in each direction and periodic boundaries. For spatial differencing, second order centered scheme with low computational cost and fourth-order compact scheme with high computational cost are used. For time integration, a semi-implicit discretization based on leapfrog scheme is implemented with the Robert-Asselin time filter for both barotropic and baroclinic systems of equations, similarly.

Mode splitting method may presents numerical instabilities on the larger baroclinic time steps, in spite of time step limitation based on CFL condition coming from each system of barotropic and baroclinic mode equations taken individually. Here, it is controlled by increasing the coefficient of time filter to some extent.

First, we solve the baroclinic mode equations to derive all baroclinic variables that are necessary to solve barotropic mode equations during a baroclinic time step. In this case, these variables can be taken to be constant up to the next baroclinic time level or determined by time interpolation between two successive baroclinic time levels.

To assess the performance of the numerical method, relative error of energy conservation is calculated. Results show that for the ratio of baroclinic time step to up to 20 times of that of barotropic time step, time evolution of the barotropic and baroclinic variables have appropriate correspondence to the basic state, in which the barotropic mode has the same time step as the baroclinic mode. When this ratio increases, the differences of errors from basic state are presented more clearly. These errors are increased on fourth order compact method insofar as it leads to numerical instabilities so the time filter coefficient had to be increased, while second order scheme is not sensitive and stays stable with small coefficient. Moreover, taking constant for baroclinic variables to solve barotropic mode equations makes the solution on fourth order compact scheme for large baroclinic time step unstable, but on the other hand time interpolation provides more stable condition and has a good performance almost on both spatial schemes.

Keywords: Shallow-water equations, Two-layer basin, Mode splitting method, Barotropic and baroclinic modes, Numerical instability.

* Corresponding author:

hm.golshahi@iau.ac.ir